

## Capítulo 7

# FUNÇÕES DE SINGULARIDADE

Para traçar os diagramas de esforços solicitantes através das equações diferenciais de equilíbrio, deve-se integrar a expressão do carregamento. Os exemplos apresentados até agora consideram apenas carregamentos distribuídos ao longo de toda a viga, estando os apoios, as cargas concentradas e os momentos puros aplicados nas extremidades da viga e tratados através das condições de contorno.

As funções de singularidade permitem o tratamento de carregamentos descontínuos, tais como forças e momentos pontuais, assim como a presença de apoios em qualquer seção da viga e não apenas nas extremidades. Como exemplo, considere a viga da Figura 7.1 submetida à ação das forças e momentos concentrados indicados. Verificam-se as seguintes expressões para o momento fletor ao longo das quatro seções distintas,

$$\begin{aligned} M &= R_{Ay}x & 0 \leq x \leq a \\ M &= R_{Ay}x - P_1(x-a) & a \leq x \leq b \\ M &= R_{Ay}x - P_1(x-a) + M_b & b \leq x \leq c \\ M &= R_{Ay}x - P_1(x-a) + M_b + P_2(x-c) & c \leq x \leq L \end{aligned} \quad (7.1)$$

As expressões anteriores podem ser escritas numa única equação como,

$$M = R_1 < x - 0 >^1 - P_1 < x - a >^1 + M_b < x - b >^0 + P_2 < x - c >^1 \quad (7.2)$$

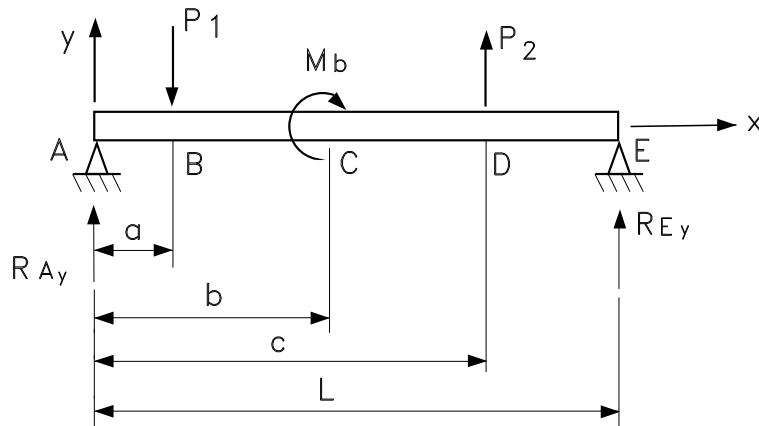


Figura 7.1: Viga submetida a forças e momentos concentrados.

Para isso, introduz-se a seguinte função simbólica,

$$\langle x - a \rangle^n = \begin{cases} 0 & \text{se } 0 < x < a \\ (x - a)^n & \text{se } a < x < \infty \quad n > 0 \end{cases} \quad (7.3)$$

$$\langle x - a \rangle^0 = \begin{cases} 0 & \text{se } 0 < x < a \\ 1 & \text{se } a < x < \infty \end{cases} \quad (7.4)$$

Observa-se que a expressão  $\langle x - a \rangle^n$  não existe, ou seja, é nula até  $x$  atingir  $a$ . Para  $x > a$ , a expressão torna-se o binômio  $(x - a)^n$  ou 1, respectivamente para  $n > 0$  e  $n = 0$ . Além disso, tem-se a seguinte regra para a integração de  $\langle x - a \rangle^n$ ,

$$\int \langle x - a \rangle^n dx = \begin{cases} \frac{\langle x - a \rangle^{n+1}}{n+1} & n \geq 0 \\ \langle x - a \rangle^{n+1} & n < 0 \end{cases} \quad (7.5)$$

Esta notação permite representar uma força concentrada através de um termo  $\langle x - a \rangle^{-1}$  e o momento puro como  $\langle x - a \rangle^{-2}$ , conforme ilustrado na Figura 7.2. Desta maneira, a integridade do carregamento da viga na Figura 7.1 é expressa como,

$$q(x) = -P_1 \langle x - a \rangle^{-1} + M_b \langle x - b \rangle^{-2} + P_2 \langle x - c \rangle^{-1} \quad (7.6)$$

sendo as reações de apoio, neste caso, tratadas como condições de contorno.

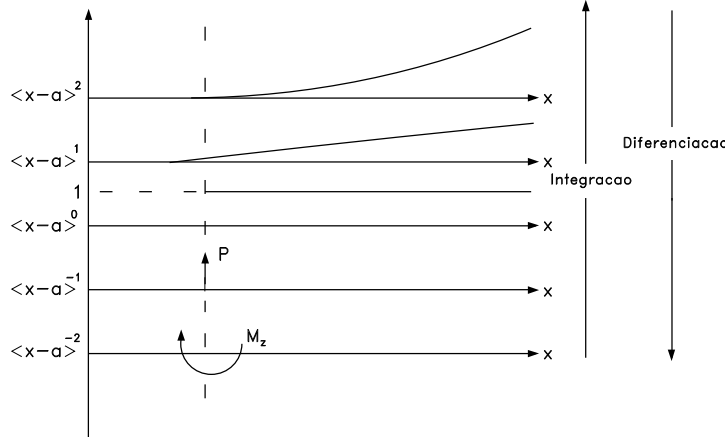


Figura 7.2: Notação simbólica para  $\langle x - a \rangle^n$ .

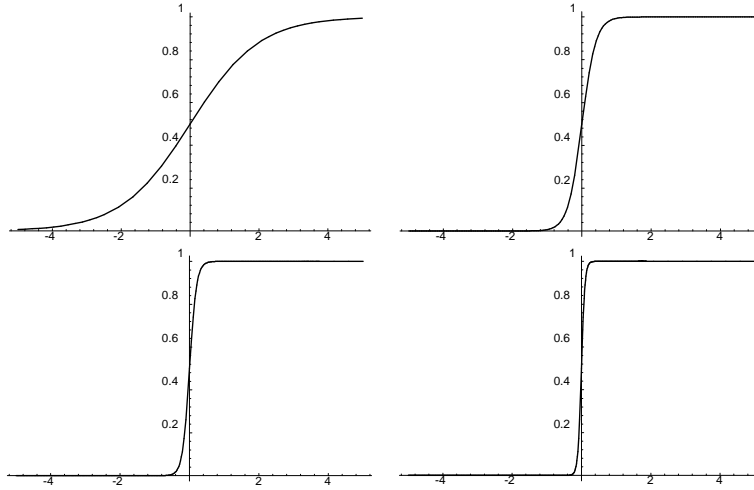
Para demonstrar tal fato, considere a função  $h_n(x)$  na variável independente  $x$  dada por,

$$h_n(x) = \frac{1}{1 + e^{-nx}} \quad (7.7)$$

onde  $n$  é um número inteiro. Para cada valor de  $n$ , tem-se uma função distinta, como, por exemplo,

$$n = 1 \rightarrow h_1(x) = \frac{1}{1 + e^{-x}} \quad n = 5 \rightarrow h_5(x) = \frac{1}{1 + e^{-5x}}$$

$$n = 20 \rightarrow h_{20}(x) = \frac{1}{1 + e^{-20x}} \quad n = 100 \rightarrow h_{100}(x) = \frac{1}{1 + e^{-100x}}$$

Figura 7.3: Gráficos de  $h_n(x)$  para  $n = 1, 5, 10, 20$ .

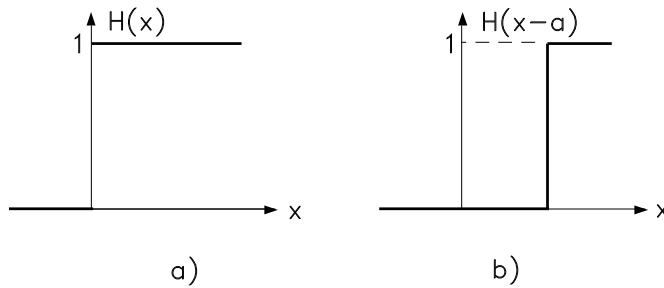
estando alguns gráficos de  $h_n(x)$  ilustrados Figura 7.3.

Logo, observa-se que  $h_n(x)$  é uma família com infinitas funções definidas pelo parâmetro  $n$ . Desta forma, pode-se imaginar  $h_n(x)$  como uma função de duas variáveis,  $n$  e  $x_1$  ou seja,  $h_n(x) = h(n, x)$ . Torna-se interessante analisar o comportamento da sequência de funções  $h_n(x)$  obtidas ao se variar o parâmetro  $n$ . Verifica-se que a expressão em (7.7) possui os seguintes valores limites:

$$x \rightarrow 0 \Rightarrow h_n = \frac{1}{2} \quad x \rightarrow \infty \Rightarrow h_n = 1 \quad x \rightarrow -\infty \Rightarrow h_n = 0$$

A definição original da função de Heaviside ou de passo unitário  $H(x)$ , mostrada na Figura 7.4a), é dada por,

$$H(x) = \begin{cases} 1 & \text{se } x > 0 \\ 0 & \text{se } x < 0 \end{cases} \quad (7.8)$$

Figura 7.4: Função de Heaviside: a)  $H(x)$ ; b)  $H(x-a)$ 

Assim, a partir desta definição e dos gráficos da Figura 7.3, verifica-se que o limite das funções  $h_n(x)$  para  $x \rightarrow \infty$  é a função de Heaviside, ou seja,

$$\lim_{n \rightarrow \infty} h_n(x) = H(x) \quad (7.9)$$

A partir daí, o termo  $\langle x - a \rangle^0$  pode ser expresso como,

$$\langle x - a \rangle^0 = H(x - a) = 1 \quad \text{para } x > a \quad (7.10)$$

Por sua vez, a função delta de Dirac é definida usualmente como,

$$\delta(x) = \begin{cases} 0 & \text{se } x \neq 0 \\ +\infty & \text{se } x = 0 \end{cases} \quad (7.11)$$

ou ainda,

$$\delta(x - x_0) = \begin{cases} 0 & \text{se } x \neq x_0 \\ +\infty & \text{se } x = x_0 \end{cases} \quad (7.12)$$

A seguinte propriedade do delta de Dirac é válida,

$$\int_{-\infty}^{+\infty} \delta(x - x_0) f(x) dx = f(x_0)$$

Esta definição de  $\delta(x)$  não coincide com o conceito clássico e função, sendo válida no sentido de função generalizada, a qual constitui-se numa extensão da análise clássica de funções. No entanto, pode-se empregar a família de funções  $h_n(x)$  e utilizá-las para definir o delta de Dirac como uma função generalizada. Para isto considere a derivada da expressão (7.7),

$$d_1 h_n(x) = \frac{dh_n(x)}{dx} = \frac{n}{e^{nx}(1+e^{-nx})^2} \quad (7.13)$$

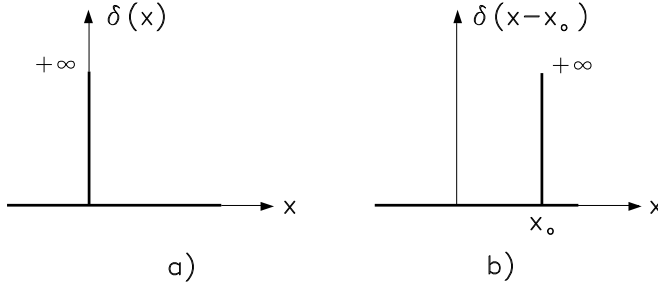


Figura 7.5: Delta de Dirac: a)  $\delta(x)$ ; b)  $\delta(x - x_o)$ .

Tomando-se novamente a sequência ou a família de funções  $d_1 h_n(x)$  e variando-se o parâmetro  $n$  tem-se, por exemplo,

$$\begin{aligned} n = 1 \rightarrow d_1 h_1(x) &= \frac{1}{e^x(1+e^{-x})^2} & n = 5 \rightarrow d_1 h_5(x) &= \frac{5}{e^{5x}(1+e^{-5x})^2} \\ n = 20 \rightarrow d_1 h_{20}(x) &= \frac{2}{0} e^{20x}(1+e^{-20x})^2 & n = 100 \rightarrow d_1 h_{100}(x) &= \frac{100}{e^{100x}(1+e^{-100x})^2} \end{aligned}$$

A Figura 7.6 ilustra os gráficos das funções  $d_1 h_n(x)$  para vários valores de  $n$ . Verifica-se, então, que as derivadas de  $h_n(x)$ , à medida que  $n$  cresce, aproximam a definição do delta de Dirac. Logo,

$$\lim_{n \rightarrow \infty} \frac{dh_n(x)}{dx} = \delta(x) \quad (7.14)$$

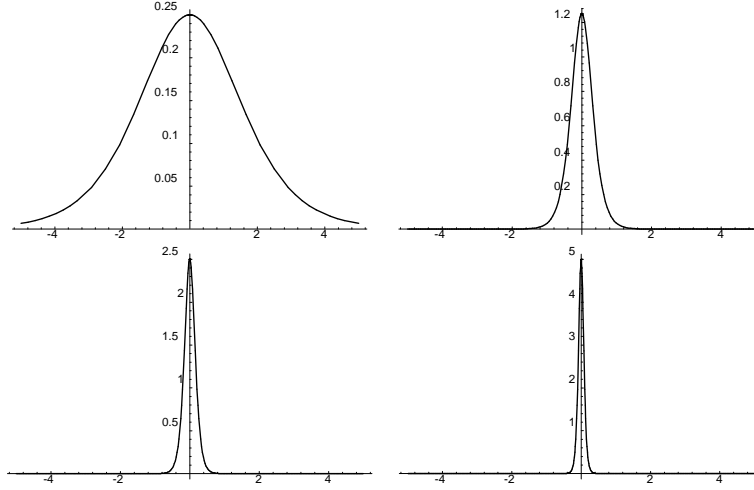


Figura 7.6: Derivadas de  $h_n(x)$  para vários valores de  $n$ .

No entanto, a partir de (7.4), tem-se que o limite de  $h_n(x)$  para  $n \rightarrow \infty$  é a função de Heaviside. Logo,

$$\lim_{n \rightarrow \infty} \frac{dh_n(x)}{dx} = \frac{d}{dx} \lim_{n \rightarrow \infty} h_n(x) = \frac{d}{dx} H(x) = \delta(x) \quad (7.15)$$

onde for possível trocar a ordem do limite com a derivação, pois pela própria definição (7.7), a família de funções  $h_n(x)$  é continuamente diferenciável.

Como  $\langle x - a \rangle^{-n} = (x - a)^{-n}$  para  $x > a$ , observa-se que para  $x = a$  a expressão  $\frac{1}{x-a}^n$  assume o valor  $+\infty$ , ou seja, tem-se uma singularidade neste ponto, surgindo, daí, a denominação de funções de singularidade.

Derivando a expressão (7.10) e utilizando (7.15) vem que,

$$\frac{d}{dx} \langle x - a \rangle^0 = \frac{d}{dx} H(x - a) = \delta(x - a) = \langle x - a \rangle^{-1} \quad (7.16)$$

Logo, a intensidade da carga concentrada  $P_1$  da viga na Figura 7.1 pode ser escrita como,

$$q(x) = P_1 \langle x - a \rangle^{-1} = P_1 \delta(x - a) = P_1$$

Analogamente, a intensidade do momento  $M_b$  será dada por  $q(x) = M_b \langle x - b \rangle^{-2}$ . Para comprovar tal fato, considere a derivada segunda de  $h_n(x)$ , ou seja,

$$\frac{d^2}{dx^2} h_n(x) = \frac{n^2}{e^{nx}(1 + e^{-nx})^2} - \frac{2n^2}{e^{2nx}(1 + e^{-nx})^3} \quad (7.17)$$

Novamente, variando-se  $n$  tem-se a família de funções  $\frac{d^2}{dx^2} h_n(x)$ , estando os gráficos para vários valores de  $n$  ilustrados na Figura 7.7. A medida que  $n$  cresce, estas funções aproximam a derivada do delta de Dirac, pois

$$\frac{d}{dx} \delta(x) = \frac{d}{dx} \left( \frac{d}{dx} H(x) \right) = \frac{d}{dx} \left( \frac{d}{dx} \lim_{n \rightarrow \infty} h_n(x) \right) = \lim_{n \rightarrow \infty} \frac{d^2}{dx^2} h_n(x) \quad (7.18)$$

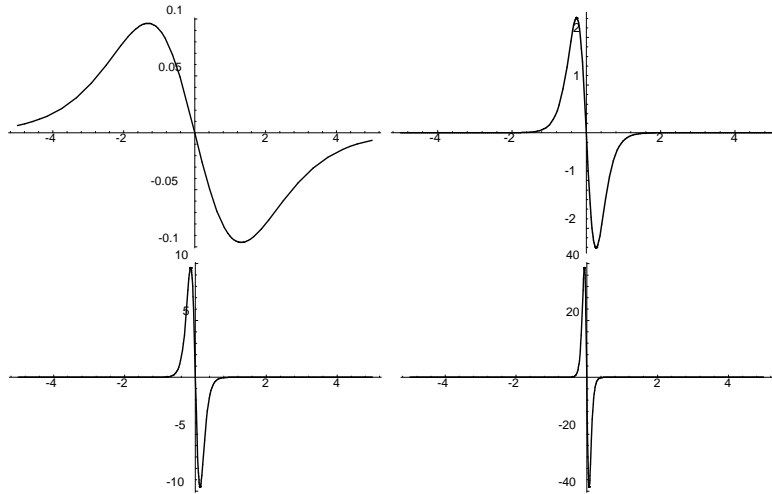


Figura 7.7: Gráficos de  $\frac{d^2}{dx^2}h_n(x)$  para  $n = 1, 5, 10, 20$ .

A partir de (7.17) e da Figura 7.7, verifica-se que a derivada segunda da função de Heaviside, ou ainda a derivada primeira do delta de Dirac, aproxima o efeito de um momento concentrado em torno da origem. A partir de (7.16), tem-se que,

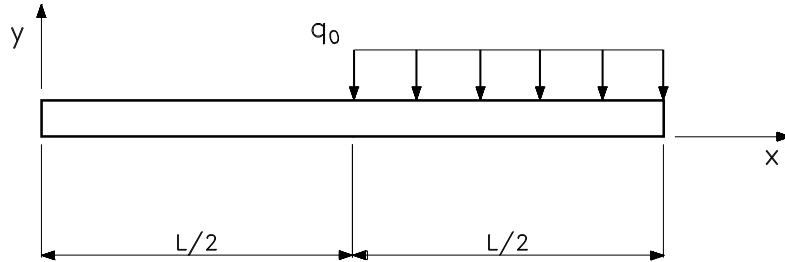
$$\frac{d}{dx} \langle x - a \rangle^{-1} = \frac{d^2}{dx^2} H(x - a) = \frac{d}{dx} \delta(x - a) = \langle x - a \rangle^{-2}$$

Verifica-se que  $\langle x - a \rangle^{-2}$  possui uma singularidade em  $x = a$ . Desta maneira, as funções de singularidade são empregadas para denotar a intensidade  $q(x)$  do carregamento ao longo da viga, como por exemplo, na expressão (7.6) para a viga da Figura 7.1.

### 7.0.8 Exemplos

A seguir apresentam-se as expressões da intensidade do carregamento para vários casos.

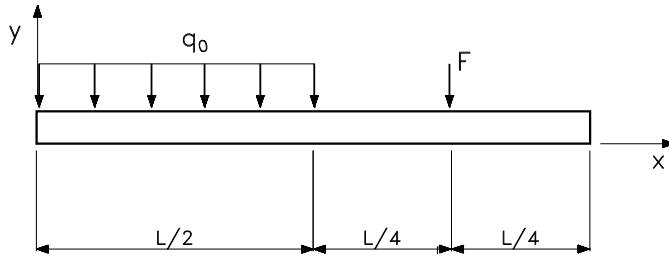
1)



• **carregamento:**

$$q(x) = -q_0 \langle x - \frac{L}{2} \rangle^0 = \begin{cases} 0 & 0 < x < \frac{L}{2} \\ -q_0(x - \frac{L}{2}) = -q_0 & x > \frac{L}{2} \end{cases}$$

2)

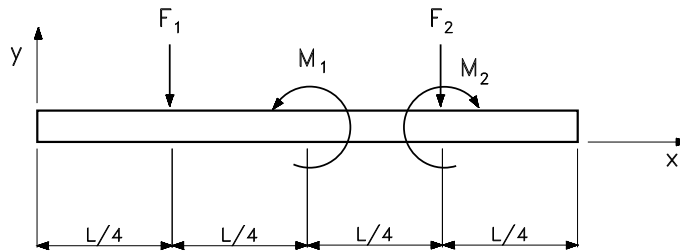


- carregamento:

$$q(x) = -q_0 < x - 0 >^0 + q_0 < x - \frac{L}{2} >^0 - F < x - \frac{3}{4}L >^{-1} = \begin{cases} -q_0 & 0 < x < \frac{L}{2} \\ 0 & \frac{L}{2} < x < \frac{3}{4}L \\ -F(x - \frac{L}{4})^{-1} & \frac{3}{4}L < x < L \end{cases}$$

- neste caso, o termo  $q_0 < x - 0 >^0$  implica que a carga distribuída está presente ao longo de todo o comprimento da viga. Como  $q_0$  atua somente até  $x = L/2$ , torna-se necessário somar o termo  $q_0 < x - \frac{L}{2} >^0$  de tal forma que a resultante em termos da carga distribuída seja nula no trecho  $L/2 < x < L$ .

3)

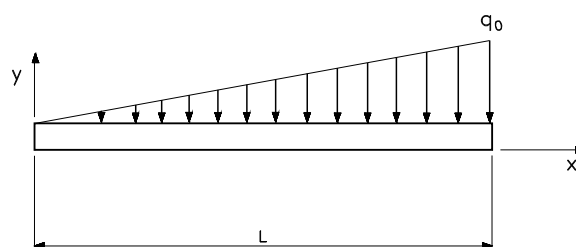


- carregamento:

$$q(x) = -F_1 < x - \frac{L}{4} >^{-1} - M_1 < x - \frac{L}{2} >^{-2} + M_2 < x - \frac{3}{4}L >^{-2} - F_2 < x - \frac{3}{4}L >^{-1}$$

$$q(x) = \begin{cases} q(x) = 0 & 0 < x < \frac{L}{4} \\ -F_1(x - \frac{L}{4})^{-1} & \frac{L}{4} < x < \frac{L}{2} \\ -F_1(x - \frac{L}{4})^{-1} - M_1(x - \frac{L}{2})^{-2} & \frac{L}{2} < x < \frac{3}{4}L \\ -F_1(x - \frac{L}{4})^{-1} - M_1(x - \frac{L}{2})^{-2} + M_2(x - \frac{3}{4}L)^{-2} - F_2(x - \frac{3}{4}L)^{-1} & \frac{3}{4}L < x < L \end{cases}$$

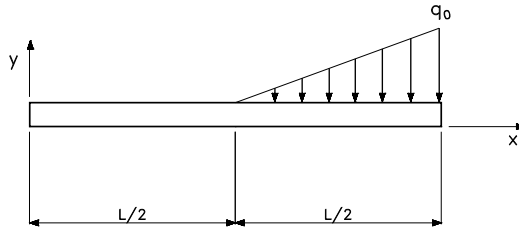
4)



• carregamento:

$$q(x) = -\frac{q_0}{L} < x - 0 >^1 = -\frac{q_0}{L}(x - 0)^1 = -q_0 \frac{x}{L}$$

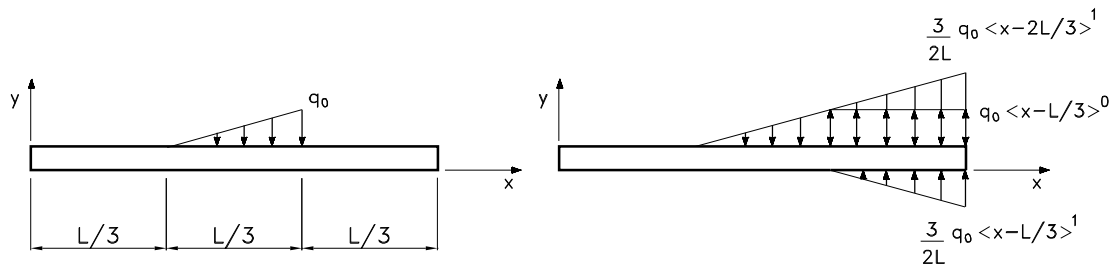
5)



• carregamento:

$$q(x) = -\frac{q_0}{\frac{L}{2}} < x - \frac{L}{2} >^1 = \begin{cases} 0 & 0 < x < \frac{L}{2} \\ -\frac{2q_0}{L} < x - \frac{L}{2} >^1 & \frac{L}{2} < x < L \end{cases}$$

6)



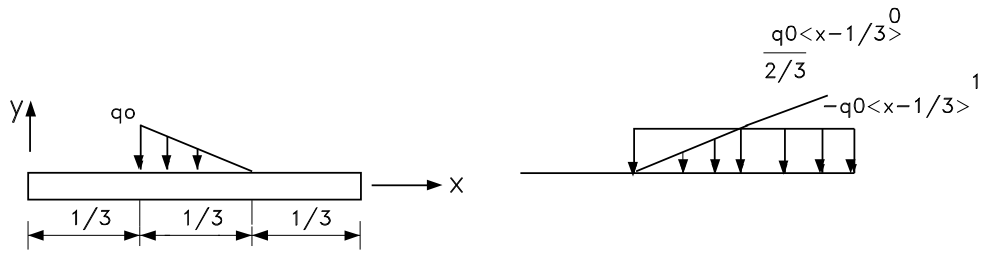
• carregamento:

$$q(x) = -\frac{q_0}{\frac{L}{3}} < x - \frac{L}{3} >^1 + \frac{q_0}{\frac{L}{3}} < x - \frac{2}{3}L >^1 + q_0 < x - \frac{2}{3}L >^0$$

$$q(x) = \begin{cases} 0 & 0 < x < \frac{L}{3} \\ -\frac{q_0}{\frac{L}{3}}(x - \frac{L}{3}) & \frac{L}{3} < x < \frac{2}{3}L \\ -\frac{q_0}{\frac{L}{3}}(x - \frac{L}{3})^1 + \frac{q_0}{\frac{L}{3}}(x - \frac{2}{3}L)^1 + q_0(x - \frac{2}{3}L)^0 & \frac{2}{3}L < x < L \end{cases}$$

- novamente o termo  $-3\frac{q_0}{L} < x - \frac{L}{3} >^1$  implica que a carga distribuída está presente no trecho  $\frac{2}{3}L < x < L$ . Para isso, soma-se o termo  $3\frac{q_0}{L} < x - \frac{2}{3}L >^1$ , resultando ainda numa carga constante a qual é anulada somando  $q_0 < x - \frac{2}{3}L >$ .

7)



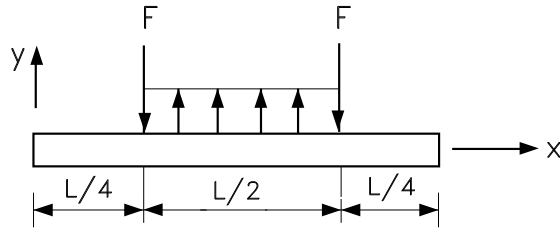
• carregamento:

$$q(x) = -q_0 \left\langle x - \frac{L}{3} \right\rangle^0 + \frac{q_0}{\frac{L}{3}} \left\langle x - \frac{L}{3} \right\rangle^1 - \frac{q_0}{\frac{2}{3}L} \left\langle x - \frac{2}{3}L \right\rangle^1$$

$$q(x) = \begin{cases} 0 & 0 < x < \frac{L}{3} \\ -q_0(x - \frac{L}{3})^0 + \frac{q_0}{\frac{L}{3}}(x - \frac{L}{3})^1 & \frac{L}{3} < x < \frac{2}{3}L \\ -q_0 + \frac{q_0}{\frac{L}{3}}(x - \frac{L}{3})^1 - \frac{q_0}{\frac{2}{3}L}(x - \frac{2}{3}L)^1 & \frac{2}{3}L < x < L \end{cases}$$

- neste exemplo, a carga distribuída desejada no trecho  $\frac{L}{3} < x < \frac{2}{3}L$  é dada pela soma de uma carga constante de intensidade  $-q_0 \left\langle x - \frac{L}{3} \right\rangle^0$  com o termo linear  $\frac{q_0}{\frac{L}{3}} \left\langle x - \frac{L}{3} \right\rangle^1$ . No entanto, deve-se considerar ainda a subtração da expressão  $\frac{q_0}{\frac{2}{3}L} \left\langle x - \frac{2}{3}L \right\rangle^1$  para que a resultante no intervalo  $\frac{2}{3}L < x < L$  seja nula.

8)



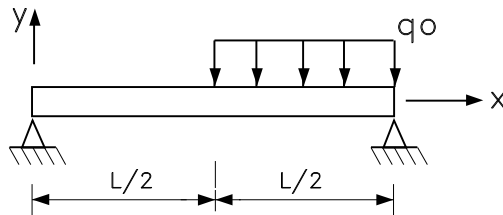
• carregamento:

$$q(x) = -F \left\langle x - \frac{L}{4} \right\rangle^{-1} + q_0 \left\langle x - \frac{L}{4} \right\rangle^0 - F \left\langle x - \frac{3}{4}L \right\rangle^{-1} - q_0 \left\langle x - \frac{3}{4}L \right\rangle^0$$

$$q(x) = \begin{cases} 0 & 0 < x < \frac{L}{4} \\ -F \left\langle x - \frac{L}{4} \right\rangle^{-1} + q_0 \left\langle x - \frac{L}{4} \right\rangle^0 & \frac{L}{4} < x < \frac{3}{4}L \\ -F \left\langle x - \frac{L}{4} \right\rangle^{-1} + q_0 \left\langle x - \frac{L}{4} \right\rangle^0 - F \left\langle x - \frac{3}{4}L \right\rangle^{-1} & \frac{3}{4}L < x < L \end{cases}$$

- observa-se que deve-se subtrair o termo  $q_0 \left\langle x - \frac{3}{4}L \right\rangle^0$  para que a intensidade da carga seja nula no trecho  $\frac{3}{4}L < x < L$ .

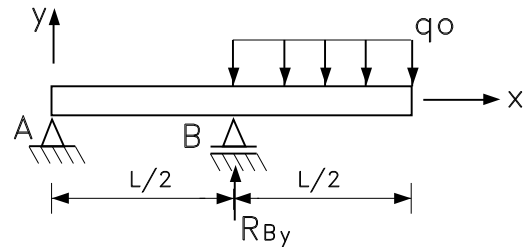
9)



- carregamento:

$$q(x) = -q_0 < x - \frac{L}{2} >^0 = \begin{cases} 0 & 0 < x < \frac{L}{2} \\ -q_0 & \frac{L}{2} < x < L \end{cases}$$

10)

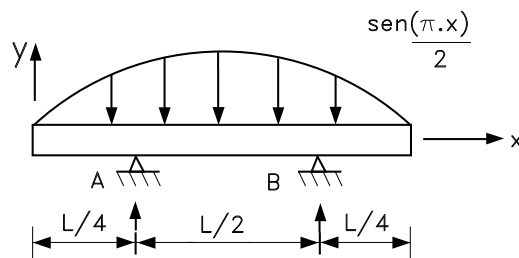


- carregamento:

$$q(x) = -q_0 < x - \frac{L}{2} >^0 + R_{By} < x - \frac{L}{2} >^{-1} = \begin{cases} 0 & 0 < x < \frac{L}{2} \\ -q_0 + R_{By}(x - \frac{L}{2})^{-1} & \frac{L}{2} < x < L \end{cases}$$

- condições de contorno:  $V_y(x = L) = 0$   $M_z(x = 0) = 0$   $M_z(x = L) = 0$

11)



- carregamento:

$$q(x) = -\sin \frac{\pi x}{L} + R_{Ay} < x - \frac{L}{4} >^{-1} + R_{By} < x - \frac{3}{4}L >^{-1}$$

$$q(x) = \begin{cases} -\sin \frac{\pi x}{L} & 0 < x < \frac{L}{4} \\ -\sin \frac{\pi x}{L} + R_{Ay}(x - \frac{L}{4})^{-1} & \frac{L}{4} < x < \frac{3}{4}L \\ -\sin \frac{\pi x}{L} + R_{Ay}(x - \frac{L}{4})^{-1} + R_{By}(x - \frac{3}{4}L)^{-1} & \frac{3}{4}L < x < L \end{cases}$$

- condições de contorno:  $V_y(x = 0) = 0 \quad M_z(x = 0) = 0 \quad V_y(x = L) = 0 \quad M_z(x = L) = 0$

### 7.0.9 Exercícios Resolvidos

1. Traçar os diagramas de esforços solicitantes para a viga indicada na Figura 7.8.

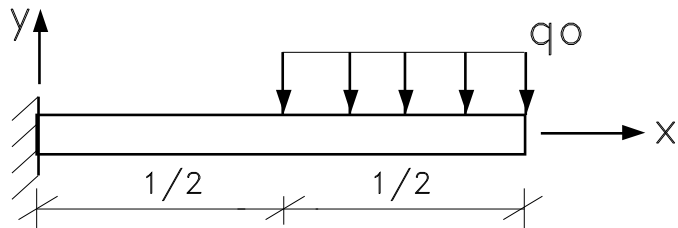
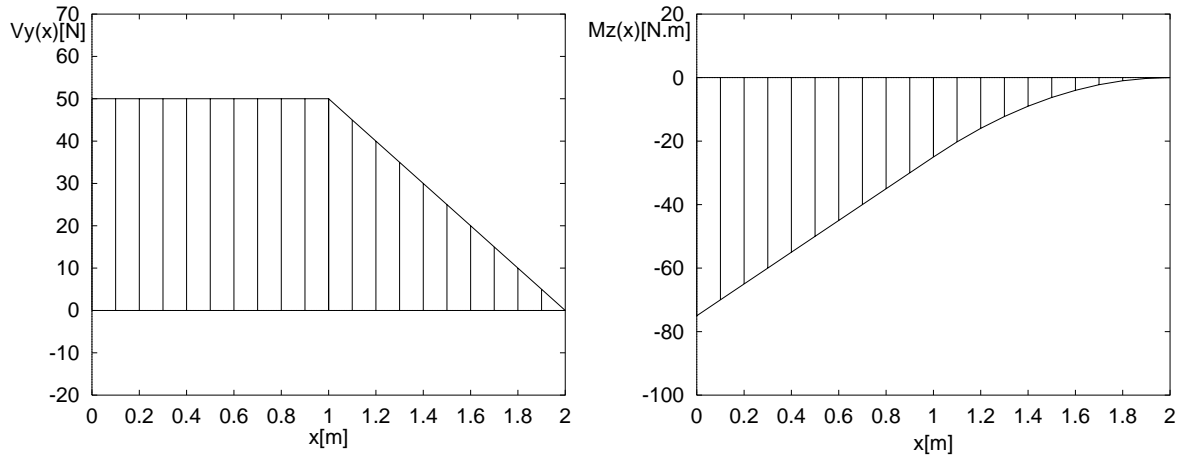


Figura 7.8: Funções de singularidade: viga do exercício 1.

- Equação do carregamento:  $q(x) = -q_0 < x - \frac{L}{2} >^0$
- Condições de contorno:  $V_y(x = L) = 0 \quad M_z(x = L) = 0$
- Integração da equação diferencial:  $\frac{d^2M}{dx^2} = -q_0 < x - \frac{L}{2} >^0$ 
  - 1<sup>a</sup> integração (cortante):  $V_y = \frac{dM_z}{dx} = -q_0 < x - \frac{L}{2} >^1 + C_1$
  - 2<sup>a</sup> integração (momento fletor):  $M_z = -\frac{q_0}{2} < x - \frac{L}{2} >^2 + C_1x + C_2$
- Determinação das constantes de integração  
 $V_y(x = L) = -q_0(L - \frac{L}{2}) + C_1 = 0 \rightarrow C_1 = q_0 \frac{L}{2}$   
 $M_z(x = L) = -\frac{q_0}{2}(L - \frac{L}{2})^2 + q_0 \frac{L}{2}L + C_2 = 0 \rightarrow C_2 = -\frac{3}{8}q_0 L^2$
- Equações finais
  - força cortante:  $V_y = -q_0 < x - \frac{L}{2} >^1 + q_0 \frac{L}{2}$
  - momento fletor:  $M_z = -\frac{q_0}{2} < x - \frac{L}{2} >^2 + q_0 \frac{L}{2}x - \frac{3}{8}q_0 L^2$
- Diagramas da força cortante e momento fletor: para  $L = 2\text{m}$  e  $q_0 = 50\text{N}$  tem-se os diagramas abaixo.

$$\begin{array}{ll} V_y(x \rightarrow 0^+) = q_0 \frac{L}{2} & M_z(x \rightarrow 0^+) = -\frac{3}{8}q_0 L^2 \\ V_y(x \rightarrow \frac{L}{2}^-) = q_0 \frac{L}{2} & M_z(x \rightarrow \frac{L}{2}^-) = -q_0 \frac{L^2}{8} \\ V_y(x \rightarrow \frac{L}{2}^+) = q_0 \frac{L}{2} & M_z(x \rightarrow \frac{L}{2}^+) = -q_0 \frac{L^2}{8} \\ V_y(x \rightarrow L^-) = 0 & M_z(x \rightarrow L^-) = 0 \end{array}$$



2. Traçar os diagramas de esforços solicitantes para a viga indicada na Figura 7.9.

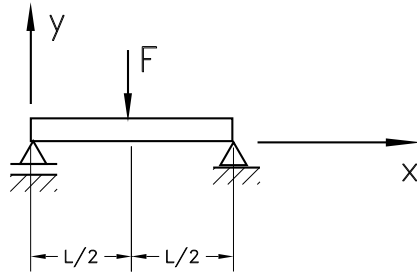
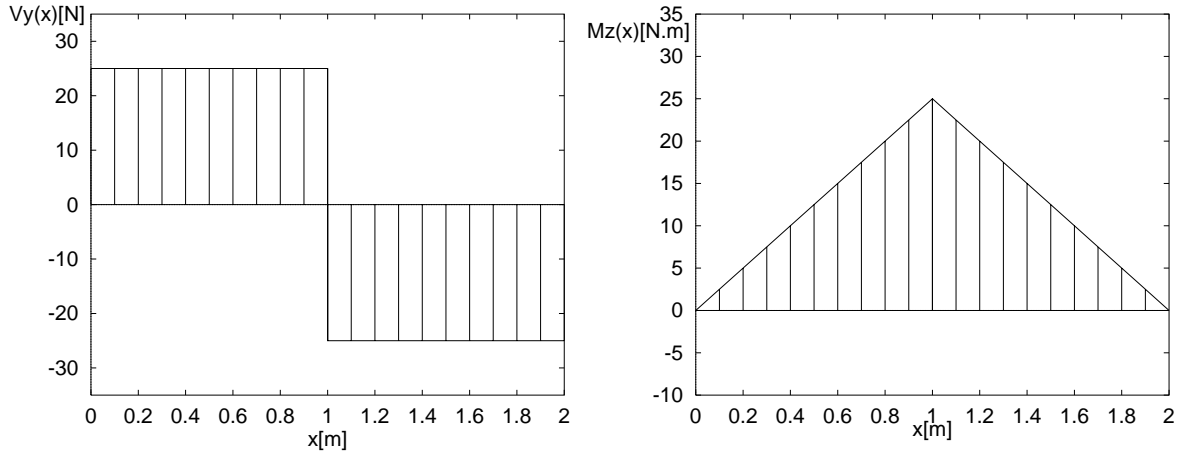


Figura 7.9: Funções de singularidade: viga do exercício 2.

- (a) Equação do carregamento:  $q(x) = -F < x - \frac{L}{2} >^{-1}$
- (b) Condições de contorno:  $M_z(x = 0) = 0$     $M_z(x = L) = 0$
- (c) Integração da equação diferencial:  $\frac{d^2M}{dx^2} = -F < x - \frac{L}{2} >^{-1}$ 
  - 1<sup>a</sup> integração (cortante):  $V_y = \frac{dM_z}{dx} = -F < x - \frac{L}{2} >^0 + C_1$
  - 2<sup>a</sup> integração (momento fletor):  $M_z = -F < x - \frac{L}{2} >^1 + C_1x + C_2$
- (d) Determinação das constantes de integração  
 $M_z(x = 0) = -F(0) + C_1(0) + C_2 = 0 \rightarrow C_2 = 0$   
 $M_z(x = L) = -F\frac{L}{2} + C_1L + 0 = 0 \rightarrow C_1 = \frac{F}{2}$
- (e) Equações finais
  - força cortante:  $V_y = -F < x - \frac{L}{2} >^0 + \frac{F}{2}$
  - momento fletor:  $M_z = -F < x - \frac{L}{2} >^1 + \frac{F}{2}x$
- (f) Diagramas da força cortante e do momento fletor: para  $L = 2m$  e  $F = 50N$  tem-se os diagramas abaixo.

$$\begin{aligned}
 V_y(x \rightarrow 0^+) &= \frac{F}{2} & M_z(x \rightarrow 0^+) &= 0 \\
 V_y(x \rightarrow \frac{L}{2}^-) &= \frac{F}{2} & M_z(x \rightarrow \frac{L}{2}^-) &= F\frac{L}{4} \\
 V_y(x \rightarrow \frac{L}{2}^+) &= -\frac{F}{2} & M_z(x \rightarrow \frac{L}{2})^+ &= F\frac{L}{4} \\
 V_y(x \rightarrow L^-) &= -\frac{F}{2} & M_z(x \rightarrow L^-) &= 0
 \end{aligned}$$



3. Traçar os diagramas de esforços solicitantes para a viga indicada na Figura 7.10.

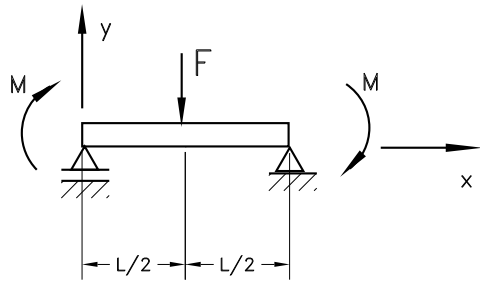
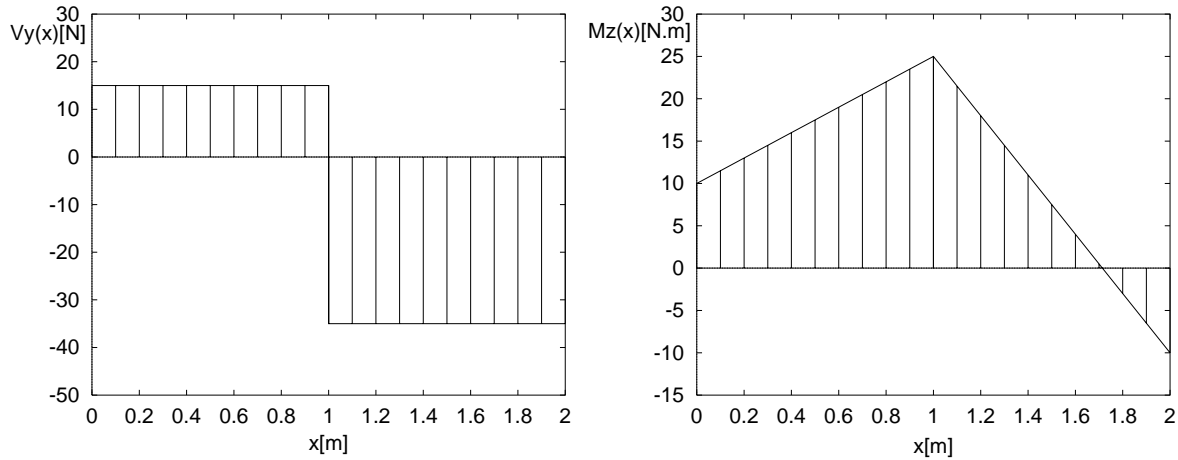


Figura 7.10: Funções de singularidade: viga do exercício 3.

- Equação do carregamento:  $q(x) = -F < x - \frac{L}{2} >^{-1}$
- Condições de contorno:  $M_z(x = 0) = M$     $M_z(x = L) = -M$
- Integração da equação diferencial:  $\frac{d^2M}{dx^2} = -F < x - \frac{L}{2} >^{-1}$ 
  - 1<sup>a</sup> integração (cortante):  $V_y = \frac{dM_z}{dx} = -F < x - \frac{L}{2} >^0 + C_1$
  - 2<sup>a</sup> integração (momento fletor):  $M_z = -F < x - \frac{L}{2} >^1 + C_1x + C_2$
- Determinação das constantes de integração  
 $M_z(x = 0) = -F(0) + C_1(0) + C_2 = M \rightarrow C_2 = M$   
 $M_z(x = L) = -F\frac{L}{2} + C_1L + M = -M \rightarrow C_1 = \frac{2M}{L} + \frac{F}{2}$
- Equações finais
  - força cortante:  $V_y = -F < x - \frac{L}{2} >^0 \frac{2M}{L} + \frac{F}{2}$
  - momento fletor:  $M_z = -F < x - \frac{L}{2} >^1 + (\frac{2M}{L} + \frac{F}{2})x + M$
- Diagramas da forçacortante e do momento fletor: para  $L = 2m$ ,  $F = 50N$  e  $M = 10Nm$  tem-se os seguintes diagramas.

$$\begin{aligned}
 V_y(x \rightarrow 0^+) &= \frac{2M}{L} + \frac{F}{2} & M_z(x \rightarrow 0^+) &= M \\
 V_y(x \rightarrow \frac{L}{2}^-) &= -\frac{2M}{L} + \frac{F}{2} & M_z(x \rightarrow \frac{L}{2}^-) &= F\frac{L}{4} \\
 V_y(x \rightarrow \frac{L}{2}^+) &= -\frac{2M}{L} - \frac{F}{2} & M_z(x \rightarrow \frac{L}{2}^+) &= F\frac{L}{4} \\
 V_y(x \rightarrow L^-) &= -\frac{2M}{L} - \frac{F}{2} & M_z(x \rightarrow L^-) &= -M
 \end{aligned}$$



4. Traçar os diagramas de esforços solicitantes para a viga indicada na Figura 7.11.

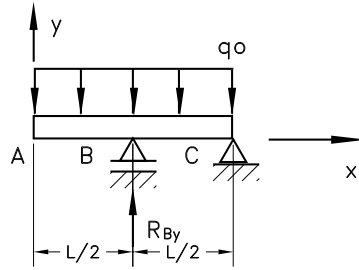


Figura 7.11: Funções de singularidade: viga do exercício 4.

(a) Equação do carregamento:

$$q(x) = -q_0 < x - 0 >^0 + R_{By} < x - \frac{L}{2} >^{-1} = -q_0 + R_{By} < x - \frac{L}{2} >^{-1}$$

(b) Condições de contorno:  $V_y(x = 0) = 0$     $M_z(x = 0) = 0$     $M_z(x = L) = 0$

(c) Integração da equação diferencial:  $\frac{d^2M}{dx^2} = -q_0 + R_{By} < x - \frac{L}{2} >^{-1}$

- 1<sup>a</sup> integração (cortante):  $V_y = \frac{dM_z}{dx} = -q_0 < x - 0 >^1 + R_{By} < x - \frac{L}{2} >^0 + C_1$

- 2<sup>a</sup> integração (momento fletor):  $M_z = -\frac{q_0}{2} < x - 0 >^2 + R_{By} < x - \frac{L}{2} >^1 + C_1x + C_2$

(d) Determinação das constantes de integração

$$V_y(x = 0) = 0 + 0 + C_1 = 0 \rightarrow C_1 = 0$$

$$M_z(x = 0) = 0 + 0 + C_2 = 0 \rightarrow C_2 = 0$$

$$M_z(x = L) = -q_0 \frac{L^2}{2} + R_{By} \frac{L}{2} = 0 \rightarrow R_{By} = q_0 L$$

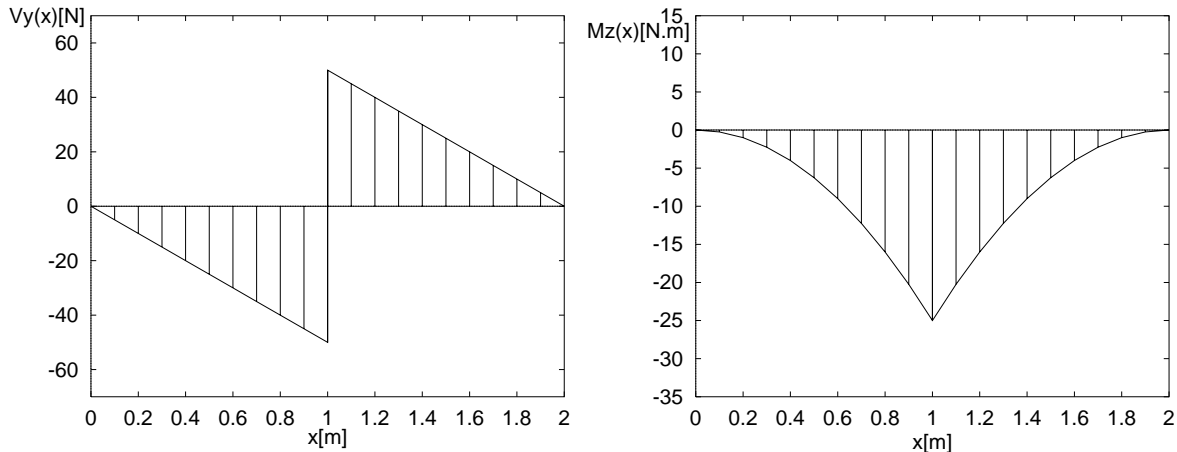
(e) Equações finais

- força cortante:  $V_y = -q_0 x + q_0 L < x - \frac{L}{2} >^0$

- momento fletor:  $M_z = -\frac{q_0}{2} x^2 + q_0 L < x - \frac{L}{2} >^1$

(f) Diagramas da força cortante e do momento fletor: para  $L = 2m$  e  $q_0 = 50N$ , tem-se os seguintes diagramas.

$$\begin{array}{ll} V_y(x \rightarrow 0^+) = 0 & M_z(x \rightarrow 0^+) = 0 \\ V_y(x \rightarrow \frac{L}{2}^-) = -q_0 \frac{L}{2} & M_z(x \rightarrow \frac{L}{2}^-) = -q_0 \frac{L^2}{4} \\ V_y(x \rightarrow \frac{L}{2}^+) = q_0 \frac{L}{2} & M_z(x \rightarrow \frac{L}{2}^+) = -q_0 \frac{L^2}{4} \\ V_y(x \rightarrow L^-) = 0 & M_z(x \rightarrow L^-) = 0 \end{array}$$



5. Traçar os diagramas de esforços solicitantes para a viga indicada na Figura 7.12.

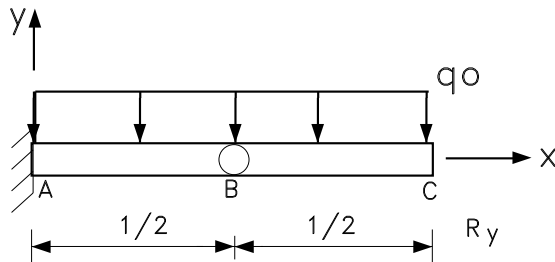


Figura 7.12: Funções de singularidade: viga do exercício 5.

- (a) Equação do carregamento:  $q(x) = -q_0 <x - 0>^0 = -q_0$
- (b) Condições de contorno:  $M_z(x = L) = 0$
- (c) Restrição adicional (rótula):  $M_z(x = \frac{L}{2}) = 0$
- (d) Integração da equação diferencial:  $\frac{d^2M}{dx^2} = -q_0$ 
  - 1<sup>a</sup> integração (cortante):  $V_y = \frac{dM_z}{dx} = -q_0 x + C_1$
  - 2<sup>a</sup> integração (momento fletor):  $M_z = -\frac{q_0}{2}x^2 + C_1 x + C_2$
- (e) Determinação das constantes de integração

$$M_z(x = L) = -q_0 \frac{L^2}{2} + C_1 L + C_2 = 0 \rightarrow 2C_1 L + 2C_2 = q_0 L^2$$

$$M_z(x = \frac{L}{2}) = -q_0 \frac{L^2}{8} + C_1 \frac{L}{2} + C_2 = 0 \rightarrow 4C_1 L + 8C_2 = q_0 L^2$$

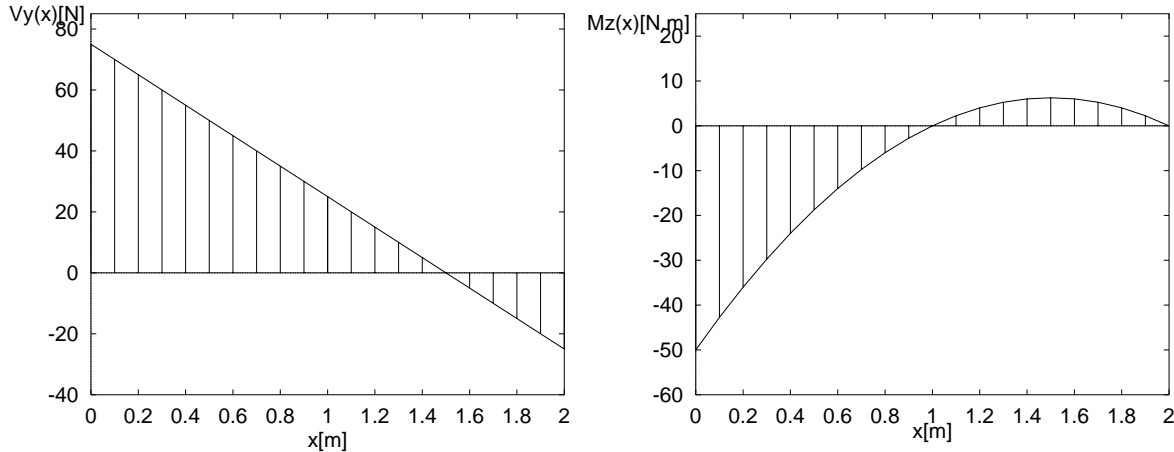
Resolvendo o sistema com as duas equações anteriores, tem-se  $C_1 = \frac{3}{4}q_0 L$  e  $C_2 = -q_0 \frac{L^2}{4}$ .

(f) Equações finais

- força cortante:  $V_y = -q_0 < x - 0 >^1 + \frac{3}{4}q_0 L$
- momento fletor:  $M_z = -\frac{q_0}{2} < x - 0 >^2 + \frac{3}{4}q_0 Lx - q_0 \frac{L^2}{4}$

(g) Diagramas da força cortante e momento fletor: para  $L = 2m$  e  $q_0 = 50N$ , tem-se os diagramas.

$$\begin{aligned} V_y(x \rightarrow 0^+) &= \frac{3}{4}q_0 L & M_z(x \rightarrow 0^+) &= -q_0 \frac{L^2}{4} \\ V_y(x \rightarrow \frac{L}{2}^-) &= q_0 \frac{L}{4} & M_z(x \rightarrow \frac{L}{2}^-) &= 0 \\ V_y(x \rightarrow \frac{L}{2}^+) &= q_0 \frac{L}{4} & M_z(x \rightarrow \frac{L}{2}^+) &= 0 \\ V_y(x \rightarrow L^-) &= -q_0 \frac{L}{4} & M_z(x \rightarrow L^-) &= 0 \end{aligned}$$



6. Traçar os diagramas de esforços solicitantes para a viga indicada na Figura 7.13.

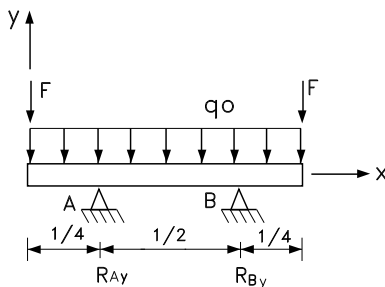


Figura 7.13: Funções de singularidade: viga do exercício 6.

(a) Equação do carregamento:

$$q(x) = -q_0 < x - 0 >^0 + R_{Ay} < x - \frac{L}{4} >^{-1} + R_{By} < x - \frac{3}{4}L >^{-1}$$

(b) Condições de contorno:  $M_z(x = 0) = 0$     $V_y(x = 0) = -F$     $M_z(x = L) = 0$     $V_y(x = L) = F$

(c) Integração da equação diferencial:

$$\frac{d^2M}{dx^2} = -q_0 < x - 0 >^0 + R_{Ay} < x - \frac{L}{4} >^{-1} + R_{By} < x - \frac{3}{4}L >^{-1}$$

- 1<sup>a</sup> integração: cortante  $V_y = \frac{dM_z}{dx} = -q_0 x + R_{Ay} < x - \frac{L}{4} >^0 + R_{By} < x - \frac{3}{4}L >^0 + C_1$
- 2<sup>a</sup> integração: momento fletor  $M_z = -\frac{q_0}{2}x^2 + R_{Ay} < x - \frac{L}{4} >^1 + R_{By} < x - \frac{3}{4}L >^1 + C_1 x + C_2$

(d) Determinação das constantes de integração

$$V_y(x=0) = -q_0(0) + R_{Ay}(0) + R_{By}(0) + C_1 = -F \rightarrow C_1 = -F$$

$$M_z(x=0) = -\frac{q_0}{2}(0) + R_{Ay}(0) + R_{By}(0) + C_1(0) + C_2 = 0 \rightarrow C_2 = 0$$

$$V_y(x=L) = -q_0L + R_{Ay} + R_{By} - F = F \rightarrow R_{Ay} + R_{By} = 2F + q_0L$$

$$M_z(x=L) = -q_0\frac{L^2}{2} + \frac{3}{4}LR_{Ay} + \frac{L}{4}R_{By} - FL = 0 \rightarrow 3R_{Ay} + R_{By} = 4F + 2q_0L$$

Resolvendo o sistema definido pelas duas últimas equações, obtém-se  $R_{Ay} = R_{By} = q_0\frac{L}{2} + F$ .

(e) Equações finais

- força cortante:

$$V_y = -q_0x + R_{Ay} < x - \frac{L}{4} >^0 + R_{By} < x - \frac{3}{4}L >^0 - F$$

- momento fletor:

$$M_z = -\frac{q_0}{2}x^2 + R_{Ay} < x - \frac{L}{4} >^1 + R_{By} < x - \frac{3}{4}L >^1 - Fx$$

(f) Diagramas da força cortante e do momento fletor: para  $L = 2m$ ,  $F = 50N$  e  $q_0 = 50N$ , tem-se os seguintes diagramas.

$$V_y(x \rightarrow 0^+) = -F$$

$$V_y(x \rightarrow \frac{L}{4}^-) = -F$$

$$V_y(x \rightarrow \frac{L}{4}^+) = q_0\frac{L}{4}$$

$$V_y(x \rightarrow \frac{L}{2}) = 0$$

$$V_y(x \rightarrow \frac{3}{4}L^-) = -q_0\frac{L}{4}$$

$$V_y(x \rightarrow \frac{3}{4}L^+) = -q_0\frac{L}{4} + F$$

$$V_y(x \rightarrow L^-) = F$$

$$M_z(x \rightarrow 0^+) = 0$$

$$M_z(x \rightarrow \frac{L}{4}^-) = -q_0\frac{L^2}{32} - F\frac{L}{4}$$

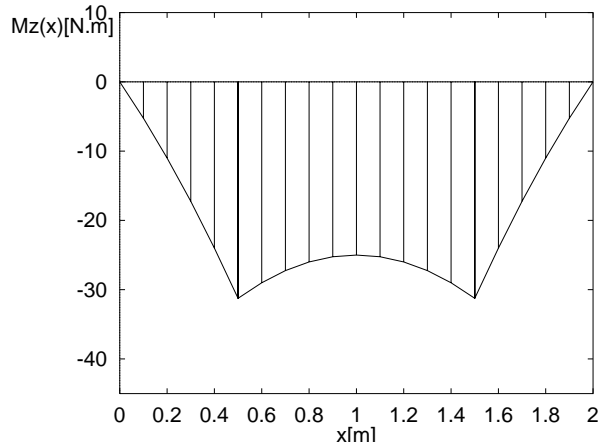
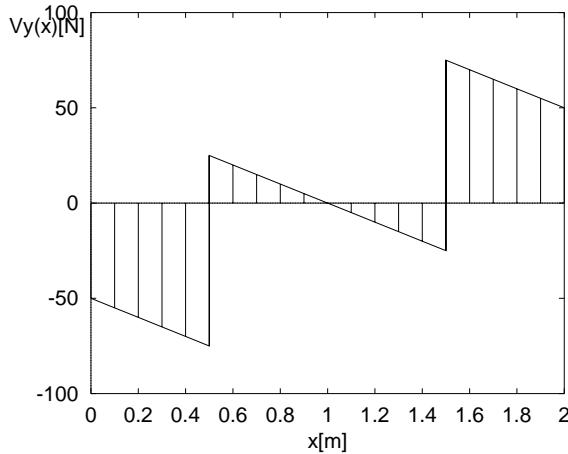
$$M_z(x \rightarrow \frac{L}{4}^+) = -q_0\frac{L^2}{32} - F\frac{L}{4}$$

$$M_z(x \rightarrow \frac{L}{2}) = -f\frac{L}{4}$$

$$M_z(x \rightarrow \frac{3}{4}L^-) = -q_0\frac{L^2}{32} - F\frac{L}{4}$$

$$M_z(x \rightarrow \frac{3}{4}L^+) = -q_0\frac{L^2}{32} - F\frac{L}{4}$$

$$M_z(x \rightarrow L^-) = 0$$



Observa-se que como a cortante anula-se em  $x = \frac{L}{2}$ , tem-se neste ponto um valor máximo no diagrama de momento fletor.

7. Traçar o diagrama da força normal para a barra indicada na Figura 7.14.

(a) Equação do carregamento:

$$p(x) = -p_0 < x - 0 >^0 - F_1 < x - \frac{L}{3} >^{-1} + F_2 < x - \frac{2}{3}L >^{-1}$$

(b) Condição de contorno:  $N_x(x=L) = 0$

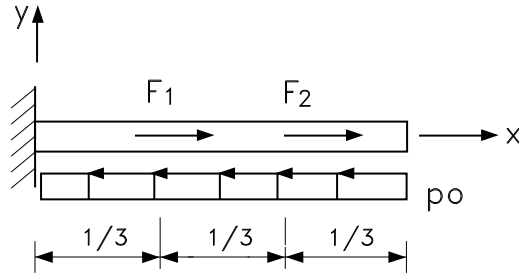


Figura 7.14: Funções de singularidade: barra do exercício 7.

(c) Integração da equação diferencial

$$\frac{dN_x}{dx} = -p(x) \rightarrow N_x = -p_0 < x - 0 >^1 - F_1 < x - \frac{L}{3} >^0 + F_2 < x - \frac{2}{3}L >^0 + C_1$$

(d) Determinação da constante de integração

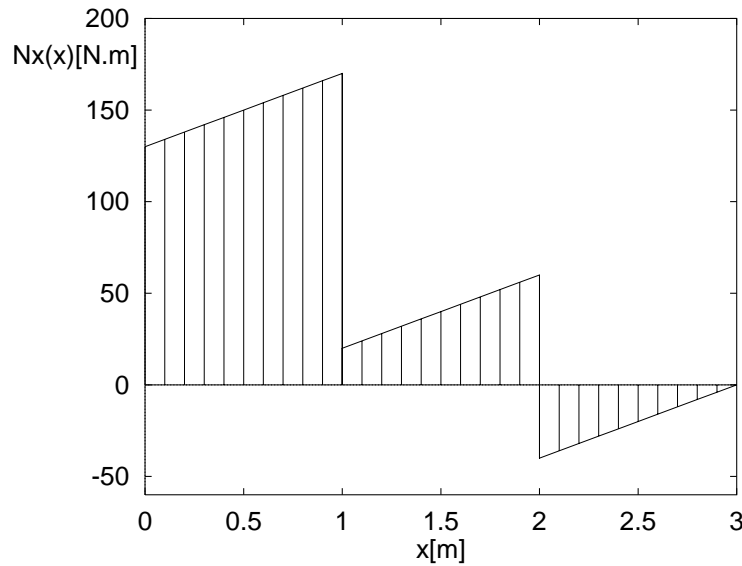
$$x = L \rightarrow N_x = p_0 L - F_1 - F_2 + C_1 = 0 \rightarrow C_1 = F_1 + F_2 - p_0 L$$

(e) Equação final

$$N_x = -p_0 < x - 0 >^1 - F_1 < x - \frac{L}{3} >^0 + F_2 < x - \frac{2}{3}L >^0 + F_1 + F_2 - p_0 L$$

(f) Diagrama da força normal: para  $L = 3m$ ,  $F_1 = 150N$ ,  $F_2 = 100N$  e  $p_0 = 40N$ , tem-se o seguinte diagrama.

$$\begin{array}{ll} N_x(x \rightarrow 0^+) = F_1 + F_2 - p_0 L & N_x(x \rightarrow \frac{L}{3}^-) = F_1 + F_2 - \frac{2}{3}p_0 L \\ N_x(x \rightarrow \frac{L}{3}^+) = F_2 - \frac{2}{3}p_0 L & N_x(x \rightarrow \frac{2}{3}L^-) = F_2 - \frac{1}{3}p_0 L \\ N_x(x \rightarrow \frac{2}{3}L^+) = -\frac{1}{3}p_0 L & N_x(x \rightarrow L^-) = 0 \end{array}$$



8. Traçar o diagrama do momento torçor para a viga indicada na Figura 7.15.

- (a) Equação do carregamento:  $t(x) = -t_0 < x - \frac{L}{2} >^0 + T_1 < x - \frac{L}{2} >^{-1}$
- (b) Condição de contorno:  $M_x(x = L) = T_2$

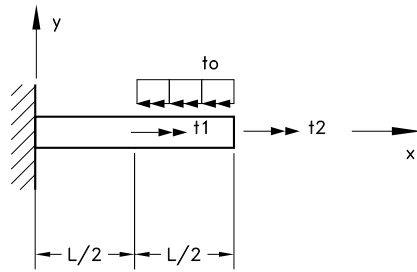


Figura 7.15: Funções de singularidade: viga do exercício 8.

(c) Integração da equação diferencial

$$\frac{dM_x}{dx} = -t(x) \rightarrow M_x = t_0 < x - \frac{L}{2} >^1 - T_1 < x - \frac{L}{2} >^0 + C_1$$

(d) Determinação da constante de integração

$$x = L \rightarrow M_x = t_0 \frac{L}{2} - T_1 + C_1 = T_2 \rightarrow C_1 = T_2 + T_1 - t_0 \frac{L}{2}$$

(e) Equação final

$$M_x = t_0 < x - \frac{L}{2} >^1 - T_1 < x - \frac{L}{2} >^0 + T_2 + T_1 - t_0 \frac{L}{2}$$

(f) Diagrama do momento torçor: para  $L = 2m$ ,  $T_1 = 10Nm$ ,  $T_2 = 30Nm$  e  $t_0 = 20Nm$  tem-se o seguinte diagrama.

$$\begin{array}{ll} M_x(x \rightarrow 0^+) = 0 & M_x(x \rightarrow \frac{L}{2}^-) = T_2 + T_1 - t_0 \frac{L}{2} \\ M_x(x \rightarrow \frac{L}{2}^+) = T_2 - t_0 \frac{L}{2} & M_x(x \rightarrow L^-) = T_2 \end{array}$$

